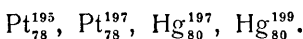


например,  $\text{Nb}_{41}^{91}$ ,  $\text{Nb}_{41}^{95}$ ,  $\text{Nb}_{41}^{97}$ ,  $\text{Te}_{43}^{95}$ ,  $\text{Te}_{43}^{99}$ ,  $\text{In}_{49}^{113}$ ,  $\text{In}_{49}^{115}$ , переходящих в основное состояние при испускании излучения типа *M4*.

Таким же образом оболочечная модель объясняет наличие изомерных состояний у ядер с нечетным числом нейтронов в интервале от 63 до 81. У некоторых из таких изомерных ядер переход в основное состояние является двухкаскадным переходом, например переходом типа  $1h_{11/2} \rightarrow 2d_{3/2} \rightarrow 3s_{1/2}$ . Наблюдаются также изомерные ядра, соответствующие переходам  $i_{13/2} \leftrightarrow f_{5/2}$ , сопровождающимся излучением типа *M4*, например



Следует, конечно, иметь в виду, что хотя оболочечная модель дает качественное объяснение состояниям ядер на основе представления об одноклонных возбужденных состояниях, при количественных расчетах надо учитывать связь одноклонных возбужденных состояний с коллективными степенями свободы ядра (см., например, [20] и § 77). Однако в настоящее время теория еще не может претендовать на количественное согласие с опытом.

## § 77. Теория электромагнитных переходов в обобщенной модели ядра

В несферических ядрах первые возбужденные состояния соответствуют коллективным возбуждениям. В приближение сильной связи коллективные движения характеризуются квантовыми числами  $J$ ,  $M$ ,  $K$ ,  $\Omega$ , определяющими соответственно полный момент количества движения ядра, его проекцию на выделенное направление (*OZ*), проекцию на аксиальную ось симметрии ядра и проекцию полного момента количества движения внешнего нуклона на ту же ось. Нижайшие возбужденные состояния обычно соответствуют  $K = \Omega$ .

Отклонение ядра от сферической формы проявляется в наличии момента инерции ядра и большого внутреннего квадрупольного момента  $Q_0$ .

В обобщенной модели состояние ядра определяется коллективными и одноклонными степенями свободы. Коллективные степени свободы описывают совокупность сильно связанных нуклонов (нуклоны входящие в состав полностью заполненных оболочек), а одноклонные степени свободы описывают состояния «внешних» слабосвязанных нуклонов.

Переходы, обусловленные изменением одноклонных состояний, описываются вероятностями, приведенными в § 74. Правда, в некоторых случаях ввиду изменения волновых функций вследствие несферичности потенциала и влияния коллективных степеней свободы вероятности переходов могут значительно отличаться от вероятностей одноклонных переходов, когда нуклон описывается волновой функцией с определенным моментом  $J$ . Теория этих эффектов пока еще развита слабо [20, 21].

Можно привести лишь следующие качественные соображения. Несферичность потенциала может привести к переходам, запрещенным правилами отбора модели оболочек. Далее, при учете коллективных степеней свободы волновую функцию ядра нужно вместо (74,2) записать в виде

$$\Psi = R_{nl}(r) \Phi_{Jm} \varphi(\alpha_\mu),$$

где  $\varphi(\alpha_\mu)$  — волновая функция коллективных движений ядра. Вследствие этого рассмотренные в § 74 вероятности переходов должны умножаться на множитель

$$F = |(\varphi_b(\alpha_\mu), \varphi_a(\alpha_\mu))|^2,$$

где  $\varphi_b(\alpha_\mu)$  и  $\varphi_a(\alpha_\mu)$  — волновые функции коллективных движений ядра соответственно в конечном и начальном состояниях. Вследствие частичной ортогональности этих функций множитель  $F < 1$ . При значительном изменении состояния коллективных движений (изменение равновесной формы при переходе в другое одноклонное возбужденное состояние) множитель  $F$  может уменьшать вероятность одноклонных переходов в десятки раз \*).

В этом параграфе мы будем интересоваться только переходами, связанными с коллективными возбуждениями.

Общие формулы (73,22), (73,24), определяющие вероятность испускания излучения мультипольности  $2^J$ , можно записать в виде

$$P(\lambda J) = 8\pi \frac{e^2}{\hbar} \frac{(J+1) k^{2J+1}}{J [(2J+1)!!]^2} B(\lambda J), \quad \lambda = E, M, \quad (77,1)$$

где приведенная вероятность электрического мультипольного перехода выражается через оператор электрического момента

$$\hat{Q}_{Jm} = 4 \sqrt{\frac{\pi}{2J+1}} \sum_{\alpha=1}^Z r_\alpha^J Y_{Jm}(0_\alpha, \varphi_\alpha)$$

с помощью формулы

$$B(EJ) = \sum_{m, m_b} \left| \left( b \left| \sqrt{\frac{2J+1}{16\pi}} \hat{Q}_{Jm} \right| a \right) \right|^2, \quad (77,2)$$

а приведенная вероятность магнитного мультипольного перехода определяется выражением

$$B(MJ) = \sum_{m, m_b} \left| \left( b \left| \frac{1}{e(J+1)} \frac{e\hbar}{2Mc} \vec{\mu} \cdot \text{rot}(\vec{r}' \vec{L} Y_{Jm}) \right| a \right) \right|^2, \quad (77,3)$$

\*.) В некоторых случаях связь одноклонных возбуждений с коллективным движением приводит к увеличению вероятности переходов, что можно интерпретировать как увеличение эффективного заряда нуклона.

здесь  $\hat{\mu}$  — оператор магнитного момента (выраженный в ядерных магнетонах) обобщенной модели ядра

$$\hat{\mu} = (g_\omega - g_R) \hat{\Omega} \mathbf{n} + g_R \hat{J}. \quad (77,4)$$

Величины, входящие в формулу (77,4), определены в § 22.

Для вычисления приведенной вероятности электрических переходов, соответствующих колективным степеням свободы ядра, выразим мультипольный электрический момент, входящий в (77,2), через внутренний мультипольный момент  $Q_{J,\nu}^0$ ; тогда

$$\hat{Q}_{Jm} = \sum_{\nu} D_{mv}^J(\alpha, \beta, \gamma) Q_{J,\nu}^0. \quad (77,5)$$

В четно-четных аксиально-симметричных ядрах колективные возбуждения соответствуют вращательным состояниям с моментами количества движения  $J=0, 2, 4, 6$  и т. д. Четность всех вращательных состояний одинакова. В этом случае ядро возвращается в основное состояние каскадом  $\gamma$ -переходов электрического квадрупольного типа ( $E2$ ). Магнитное излучение запрещено.

Вычислим приведенную вероятность перехода  $J \rightarrow J+2$  между состояниями, изображаемыми волновыми функциями

$$\psi_b = \sqrt{\frac{2J+5}{8\pi^2}} D_{mb0}^{J+2}(\alpha, \beta, \gamma) \quad \text{и} \quad \psi_a = \sqrt{\frac{2J+1}{8\pi^2}} D_{ma0}^J(\alpha, \beta, \gamma). \quad (77,6)$$

Подставляя (77,5) и (77,6) в (77,2), получим:

$$B(E2) = \frac{5(2J+5)(2J+1)}{16\pi(8\pi^2)^2} \sum_{m, m_b} \left| \left( D_{mb0}^{J+2}, \sum_{\nu} D_{mv}^2 D_{ma0}^J \right) \right|^2 Q_{20}^2. \quad (77,7)$$

Для вычисления этого выражения используем формулы приложения I. Согласно формуле (Д,11)

$$(D_{mb0}^{J+2}, D_{mv}^2 D_{ma0}^J) = \frac{8\pi^2}{(2J+5)} (2Jmm_a | J+2, m_b) (2J00 | J+2, 0) \delta_{v0}. \quad (77,8)$$

Далее, с помощью (Б,11) получим:

$$\sum_{m, m_b} |(2Jmm_a | J+2, m_b)|^2 = \frac{2J+5}{2J+1}. \quad (77,9)$$

Наконец,

$$(2J00 | J+2, 0)^2 = \frac{3(J+2)(J+1)}{2(2J+1)(2J+3)}. \quad (77,10)$$

С помощью (77,8)–(77,10) находим окончательное выражение приведенной вероятности электрического квадрупольного перехода между вращательными состояниями четно-четных ядер, соответствующего поглощению

$$B(E2) = \frac{15(J+2)(J+1)}{32\pi(2J+1)(2J+3)} Q_{20}^2 \quad (J \rightarrow J+2). \quad (77,11)$$

Электрический квадрупольный переход, соответствующий испусканию  $\gamma$ -кванта при переходе  $J+2 \rightarrow J$ , будет характеризоваться приведенной вероятностью

$$B(E2) = \frac{15(J+1)(J+2)}{32\pi(2J+3)(2J+5)} Q_{20}^* \quad (J+2 \rightarrow J). \quad (77,11a)$$

Так как число конечных состояний в переходах  $J \rightarrow J+2$  и  $J+2 \rightarrow J$  различно, то соответствующие им приведенные вероятности (77,11) и (77,11a) не равны друг другу.

Для ядер с нечетным  $A$  вращательные уровни образуют последовательность с  $J=K, K+1, K+2, \dots$ ; четность их также одинакова.

Вычислим вероятность электрического квадрупольного перехода между состояниями, определяемыми волновыми функциями:

$$\psi_b = \sqrt{\frac{2J+3}{8\pi^2}} D_{mbK}^{J+1}(\alpha, \beta, \gamma), \quad \psi_a = \sqrt{\frac{2J+1}{8\pi^2}} D_{maK}^J(\alpha, \beta, \gamma);$$

тогда

$$B(E2) = \frac{5(2J+3)(2J+1)}{16\pi(8\pi^2)^2} \sum_{m, m_b} \left| \left( D_{mbK}^{J+1}, \sum_v D_{mv}^2 D_{maK}^J \right) Q_{20}^0 \right|^2;$$

теперь

$$(D_{mbK}^{J+1}, D_{mv}^2 D_{maK}^J) = \frac{8\pi^2}{2J+3} (2Jmm_a | J+1, m_b) (2J0K | J+1, K) \delta_{v_0},$$

$$\sum_{m, m_b} |(2Jmm_a | J+1, m_b)|^2 = \frac{2J+3}{2J+1},$$

$$(2J0K | J+1, K)^2 = \frac{3K^2(J-K+1)(J+K+1)}{J(2J+1)(J+1)(J+2)},$$

поэтому

$$B(E2) = \frac{15K^2(J-K+1)(J+K+1)}{16\pi J(J+1)(J+2)(2J+1)} Q_{20}^* \quad (J \rightarrow J+1). \quad (77,12)$$

При выводе (77,12) предполагалось, что внешний нуклон не изменяет своего состояния и не вносит вклада в вероятность квадрупольного электрического излучения.

Переходу  $J+1 \rightarrow J$  с испусканием электрического квадрупольного излучения соответствует приведенная вероятность:

$$B(E2) = \frac{15K^2(J+1-K)(J+1+K)}{16\pi J(J+1)(2J+3)(J+2)} Q_{20}^* \quad (J+1 \rightarrow J). \quad (77,12a)$$

Таким же образом можно определить приведенную вероятность электрического квадрупольного излучения при переходе  $J+2 \rightarrow J$ :

$$B(E2) = \frac{15}{32\pi} Q_{20}^* \frac{(J+1-K)(J+1+K)(J+2-K)(J+2+K)}{(J+1)(J+2)(2J+3)(2J+5)},$$

$$(J+2 \rightarrow J).$$

В ядрах с нечетным  $A$  переход между вращательными состояниями  $J+1 \rightarrow J$  (без изменения четности) может быть дипольным магнитным переходом. Приведенная вероятность этого перехода ( $M1$ ) непосредственно связана с оператором магнитного момента

$$\hat{\mu} = (g_\Omega - g_R) \hat{\Omega} \mathbf{n} + g_R \hat{\mathbf{J}},$$

с помощью которого в § 22 определялся магнитный момент основного состояния ядра.

Для вычисления приведенной вероятности перехода  $M1$  примем во внимание, что в длинноволновом приближении

$$\text{rot} (r^J \hat{\mathbf{L}} Y_{Jm}) \approx i (J+1) \nabla (r^J Y_{Jm});$$

тогда из (77,3) следует

$$B(M1) = \sum_{m, m_b} \left| \left( b \left| \frac{\hbar}{2Mc} \hat{\mu} \nabla (r Y_{1m}) \right| a \right) \right|^2. \quad (77,13)$$

Если предположить, что состояние аксиально симметричного ядра характеризуется набором квантовых чисел  $J, M, K, \Omega$ , то для перехода  $J+1 \rightarrow J$  при  $K, \Omega > \frac{1}{2}$  из (77,13) следует

$$B(M1) = \frac{3}{4\pi} \left( \frac{\hbar}{2Mc} \right)^2 (g_\Omega - g_R)^2 \frac{\Omega^2 (J+1-K)(J+1+K)}{(J+1)(2J+3)}.$$

Для случая  $K = \Omega = \frac{1}{2}$  вращательный спектр ядра и вероятности переходов  $M1$  выражается более сложными формулами (см. [20]).

Выше мы исследовали электромагнитные переходы в пределах одной вращательной полосы, т. е. переходы, при которых не изменяется внутреннее состояние ядра. В аксиально-симметричных ядрах одним из квантовых чисел, характеризующих его внутреннее состояние, является число  $K$ , определяющее проекцию полного момента количества движения на аксиальную ось симметрии ядра. Сохранение квантового числа  $K$  при электромагнитных переходах можно рассматривать как дополнительное правило отбора. В общем случае, при учете переходов между разными вращательными полосами энергии, при испускании излучения с моментом  $J$  изменение квантового числа  $K$  должно удовлетворять неравенству

$$\Delta K \leq J. \quad (77,14)$$

Переходы, не удовлетворяющие неравенству (77,14), называются *K-запрещенными переходами*. Это запрещение не является абсолютным, так как  $K$  не является строгим квантовым числом.

Возможность нарушения неравенства (77,14) связана с тем, что реальное состояние ядра  $\psi_{JM}$  изображается не простым произведе-

нием  $D'_{MK}\varphi_{aK}$ , а суперпозицией состояний с различными значениями  $K$ :

$$\psi_{aJM} = \sum_K a_K D'_{MK}\varphi_{aK}.$$

В аксиально-симметричных ядрах, значительно отличающихся от сферических,  $K$  является сравнительно хорошим квантовым числом, поэтому  $K$ -запрещенные переходы будут обладать малой вероятностью. Например, время жизни возбужденного состояния  $\text{Hf}^{180}$ , имеющего спин  $J=K=9^-$ , равно 5,5 часа, несмотря на то, что происходит электрический дипольный переход ( $E1$ ) на вращательный уровень  $J=8^+$ ,  $K=0$ . Малая вероятность этого перехода (множитель запрещения порядка  $10^{-15}$ ), по-видимому, связана с его  $K$ -запрещенностью. Уровень  $J=8^+$  является в основном вращательным уровнем с  $K=0$  и содержит лишь очень малую примесь состояния с  $K=8^+$ .

## § 78. Угловое распределение излучения. Угловые корреляции в каскадных переходах

Во всех предыдущих параграфах этой главы мы не интересовались угловым распределением излучения. Поэтому при получении основных формул, определяющих суммарную вероятность излучения, производилось интегрирование по всем направлениям излучения. В этом параграфе мы исследуем угловое распределение излучения.

Пользуясь результатами § 73, можно записать вероятность испускания в единицу времени электрического и магнитного излучений определенной мультипольности  $\lambda J$  в элемент телесного угла  $d\Omega$  при переходе  $a \rightarrow b$ :

$$P_{ba}(\lambda J) d\Omega = \frac{\pi k}{2\hbar c^2} \sum_{p=1, -1} \left| \sum_m i^J \sqrt{2J+1} D'_{mp} \left( b \left| \int A_\lambda(Jm) jd\tau \right| a \right) \right|^2 d\Omega, \\ \lambda = E, M. \quad (78,1)$$

Если переход совершается между состояниями  $a$  и  $b$ , характеризуемыми квантовыми числами  $J_a m_a$  и  $J_b m_b$ , то в сумме по  $m$  в (78,1) останется один член  $m = m_b - m_a$ . Таким образом,

$$P_{ba}(\lambda J) d\Omega = F_{J, m_b - m_a}(0) G(J, J_a, J_b, m_a, m_b, \lambda) d\Omega, \quad (78,2)$$

где

$$G(J, J_a, J_b, m_a, m_b, \lambda) \equiv \frac{\pi k}{2\hbar c^2} (2J+1) \left| \left( b \left| \int A_\lambda(Jm) jd\tau \right| a \right) \right|^2 \quad (78,3)$$

— множитель, зависящий от квантовых чисел  $J, J_a, J_b, m_a, m_b$  и типа излучения; он не равен нулю, если квантовые числа  $J, J_a, J_b$  удовлетворяют правилам отбора,  $m = m_b - m_a$  и тип излучения соответствует